

## § 4.2. Инверторы тока

**Однофазный параллельный инвертор тока.** На рис. 4.1, а приведена принципиальная схема однофазного параллельного мостового инвертора тока. Тиристоры отпираются попарно ( $B_1$  и  $B_2$ ,  $B_3$  и  $B_4$ ) с относительным фазовым сдвигом, равным  $180^\circ$ . Во входной цепи включен дроссель  $L_d$ , индуктивность которого достаточно велика (в пределе  $L_d = \infty$ ), благодаря чему входной ток  $i_d$  идеально сглажен, а ток через тиристоры имеет прямоугольную форму (рис. 4.1, б). При отпирании тиристоров  $B_1$ ,  $B_2$  ток  $i_d$ , равный в течение полупериода выходной частоты току  $i_{\text{вых}}$ , разветвляется по двум ветвям: ток  $i_n$  протекает через нагрузку, а ток  $i_c$  — через конденсатор  $C$ , заряжая его с полярностью, указанной на рисунке без скобок. Через полупериод выходной частоты отпираются тиристоры  $B_3$ ,  $B_4$  и конденсатор  $C$  оказывается закороченным всеми тиристорами. При этом ток разряда конденсатора, протекая на встречу рабочему току тиристоров  $B_1$ ,  $B_2$ , уменьшает его до нуля практически мгновенно, так как сопротивление в контуре разряда конденсатора через тиристоры мало, а индуктивности рассеяния обмоток трансформатора (если последний имеется) находятся вне этого контура. Быстрое нарастание тока в тиристорах, которые отпираются, может вывести их из строя вследствие превышения допустимой величины  $di_a/dt$ . Поэтому в анодные цепи тиристоров на практике вводят дроссели, ограничивающие допустимую для конкретного типа тиристоров величину  $di_a/dt$ .

После спадания анодного тока тиристоров  $B_1$ ,  $B_2$  до нуля к ним прикладывается обратное напряжение, определяемое напряжением на коммутирующем конденсаторе  $C$ . При запирании тиристоров  $B_1$ ,  $B_2$  конденсатор  $C$  перезаряжается от источника питания через тиристоры  $B_3$ ,  $B_4$ , приобретая противоположную полярность (на рисунке указана в скобках). Отметим, что при отпирании очередной пары тиристоров одновременно с разрядом конденсатора по контуру открытых тиристоров происходит также его разряд на нагрузку. При этом часть энергии конденсатора переходит в энергию индуктивностей контура, а другая часть рассеивается в его активных сопротивлениях. При отпирании тиристоров  $B_1$ ,  $B_2$  процесс повторяется.

В любой момент времени суммарный ток на выходе инвертора при принятом допущении ( $L_d \rightarrow \infty$ ) равен  $i_{\text{вых}} = i_h + i_c = I_d = \text{const}$ , но его направление изменяется через каждый полупериод на противоположное (рис. 4.1, б). В течение времени  $t_{\text{выкл}}$  напряжение на конденсаторе ( $u_c = u_h$ ) совпадает по направлению с прежним, ток нагрузки  $i_h$  сохраняет свое прежнее направление за счет разряда конденсатора на нагрузку, а ток коммутирующего конденсатора  $i_c$  с момента коммутации изменяет направление на противоположное.

Таким образом, ток конденсатора  $i_c$  после коммутации имеет максимальное значение и уменьшается по мере его перезаряда, а ток нагрузки  $i_h$  постепенно спадает до нуля и, reverсируя, совпадает по направлению с током  $i_c$ .

Дроссель  $L_d$  выполняет функцию фильтра высших гармонических составляющих напряжения, так как к нему в любой момент времени прикладывается разность между неизменным напряжением источника питания и пульсирующим напряжением на входе инвертора (называемым противо-э. д. с. инвертора).

Выходное напряжение инвертора повторяет по форме напряжение на конденсаторе и представляет собой в каждый полупериод сумму двух составляющих: постоянной, равной напряжению источника питания, и переменной, возникающей за счет реактивной мощности конденсатора. Поскольку за полупериод выходной частоты реактивная мощность равна нулю, заштрихованные площадки  $S_1$  и  $S_2$  (рис. 4.1, б), характеризующие интегральные значения переменной составляющей, равны между собой. Среднее значение выходного напряжения за полупериод равно напряжению источника питания  $U_d$ .

Напряжение на тиристорах  $B_1$ ,  $B_2$  ( $u_{B_{1,2}}$  на рис. 4.1, б) после коммутации изменяется от отрицатель-

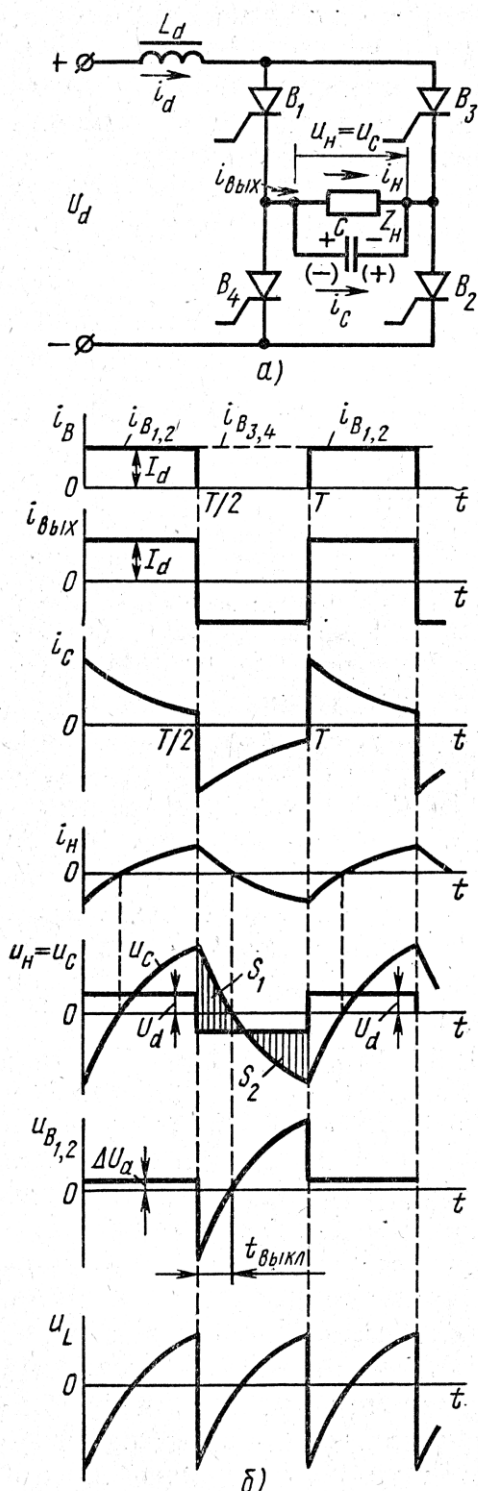


Рис. 4.1. Однофазный мостовой параллельный инвертор тока:  
а — схема; б — временные диаграммы токов и напряжений

ного значения к положительному. В течение времени  $t_{\text{выкл}}$  на тиристорах  $B_1$  и  $B_2$  поддерживается отрицательное напряжение и они восстанавливают запирающие свойства.

Если  $t_{\text{выкл}} > t_{\text{восст}}$ , то с восстановлением положительного анодного напряжения тиристоры  $B_1$  и  $B_2$  (рис. 4.1, б) останутся запертыми вплоть до прихода следующего отпирающего импульса. Если же этого времени окажется недостаточно, то указанные тиристоры снова откроются и произойдет срыв инвертирования.

Коммутирующий конденсатор может быть включен параллельно первичной или вторичной обмотке трансформатора, если такой имеется.

В зависимости от соотношения величин индуктивности входного дросселя  $L_d$ , сопротивления нагрузки  $Z_h$ , частоты выходного напряжения  $f$  и емкости коммутирующего конденсатора  $C$  возможны три режима работы параллельного инвертора: 1) входной ток  $i_d$  непрерывен и идеально слажен; 2) входной ток  $i_d$  непрерывен, но имеет пульсации; 3) входной ток  $i_d$  прерывистый.

При расчете инвертора воспользуемся эквивалентной схемой, справедливой в течение полупериода выходной частоты и полученной в предположении, что активное сопротивление дросселя и прямое падение напряжения на тиристорах равны нулю, а нагрузка чисто активная (рис. 4.2).

Так как индуктивность дросселя  $L_d$  бесконечно велика, ток  $i_d$ , потребляемый от источника питания, постоянен.

Для схемы рис. 4.2 можно записать следующую систему уравнений (если пренебречь начальными условиями):

$$\left. \begin{aligned} i_d &= I_d = i_h + i_C = \text{const}, \\ i_C &= C \frac{du_h}{dt}, \\ i_h &= u_h / r_h. \end{aligned} \right\} \quad (4.1)$$

Решая эту систему относительно напряжения  $u_h$  в операторной форме, получаем:

$$U_h(p) = \frac{I_d}{pC \left( p + \frac{1}{Cr_h} \right)}.$$

Данная функция имеет два полюса:  $p_1 = 0$  и  $p_2 = -1/(Cr_h)$ . Оригинал находим с помощью обратного преобразования Лапласа:

$$U_h(t) = \frac{F_1(p)}{F_2(p)} \stackrel{p \rightarrow 0}{=} \sum_{q=1}^{\infty} \frac{F_1(p_q)}{F'_2(p_q)} e^{p_q t} = A_1 + A_2 e^{-\frac{t}{Cr_h}} = u_h(t). \quad (4.2)$$

шим ток, прикладывается отрицательное напряжение. Время запирания можно определить из выражения (4.3), приравнивая его нулю:

$$u_n|_{t=t_{\text{выкл}}} = \frac{U_d \left( 1 + e^{-\frac{T}{2T_n}} - 2e^{-\frac{t_{\text{выкл}}}{T_n}} \right)}{\left( 1 + e^{-\frac{T}{2T_n}} \right) - \frac{4T_n}{T} \left( 1 - e^{-\frac{T}{2T_n}} \right)} = 0. \quad (4.4)$$

Решая уравнение (4.4) относительно  $t_{\text{выкл}}$ , получаем:

$$t_{\text{выкл}} = T_n \ln \frac{2}{1 + e^{-\frac{T}{2T_n}}} \quad (4.5)$$

Из выражения (4.5) видно, что время запирания увеличивается с увеличением сопротивления нагрузки и емкости коммутирующего конденсатора.

Рассматривая параллельное соединение коммутирующего конденсатора  $C$  и резистора  $Z_n$  как общую нагрузку, нетрудно видеть, что инвертор тока может работать лишь на общую емкостную нагрузку, когда выходной ток инвертора  $i_{\text{вых}}$  опережает напряжение  $u_n$  на выходе инвертора. В этом случае к тиристорам, которые до коммутации проводили ток, прикладывается обратное напряжение. Время действия обратного напряжения на тиристорах должно быть достаточным для восстановления их запирающих свойств, т. е.  $t_{\text{выкл}} \geq t_{\text{восст}}$  или  $\beta \geq \delta$ , где  $\beta = \omega t_{\text{выкл}}$ ,  $\delta = \omega t_{\text{восст}}$ ,  $\omega$  — угловая выходная частота инвертора. Приведенное условие выполняется благодаря наличию угла опережения (запирания)  $\beta$  тока  $i_{\text{вых}}$ , потребляемого нагрузкой и конденсатором, и напряжения  $u_n$ . Угол  $\beta$  создается за счет тока  $i_C$  коммутирующего конденсатора.

Анализ работы инвертора на активно-индуктивную нагрузку можно провести так же, как и для инвертора при чисто активной нагрузке. Однако зависимости для тока и напряжения получаются относительно сложными, а расчет — громоздким и трудным.

На практике, особенно при анализе многофазных инверторов, очень часто ограничиваются лишь учетом основной гармоники токов и напряжений. При этом характеристики, найденные методом основной гармоники, пригодны для инженерных расчетов, так как мало отличаются от характеристик, полученных путем решения дифференциальных уравнений (расхождение менее 10—15 %). Анализ инвертора методом основной гармоники проведем при следующих допущениях: напряжение на выходе инвертора синусоидально, инвертируемый ток идеально сглажен ( $L_d = \infty$ ), активными потерями в элементах инвертора пренебрегаем, коммутация тока с тиристора на тиристор мгновенная.

Учитывая, что кривая инвертируемого тока имеет прямоугольную форму (рис. 4.4, а), действующее значение его первой гармоники определим из выражения

$$I = \frac{1}{\sqrt{2} \pi} \int_0^{2\pi} i_{\text{вых}} \sin \vartheta d\vartheta = \frac{\sqrt{2}}{\pi} \int_0^{\pi} I_d \sin \vartheta d\vartheta = \frac{2\sqrt{2}}{\pi} I_d. \quad (4.6)$$

Пренебрегая потерями в инверторе и учитывая, что при принятых допущениях угол опережения  $\beta = \psi_{(1)}$  равен углу сдвига фаз между инвертированным напряжением  $u_h$  и первой гармоникой инвертированного тока  $i_{(1)}$  (рис. 4.4, а), получим, что активная мощность, потребляемая от источника питания, равна активной инвертированной мощности:  $P_d = P_h$ , т. е.

$$U_d I_d = U_h I \cos \beta = U_h I \cos \beta. \quad (4.7)$$

Из выражений (4.7) и (4.6) находим, что

$$U_h = \frac{U_d}{K_h \cos \beta}, \quad (4.8)$$

где  $K_h = \frac{2\sqrt{2}}{\pi} = 0,9$  — коэффициент, зависящий от схемы инвертора.

Если нагрузка подключается через инверторный трансформатор, выражение (4.8) приобретает вид  $U_h = \frac{n U_d}{K_h \cos \beta}$ , где  $n = \omega_2 / \omega_1$  — коэффициент трансформации инверторного трансформатора.

Угол опережения  $\beta$  зависит от соотношения реактивной и активной мощностей инвертора. Учитывая только первую гармонику, с помощью векторной диаграммы рис. 4.4, б найдем, что

$$\operatorname{tg} \beta = \frac{Q_h}{P_h} = \frac{Q_C - Q_h}{P_h} = \frac{I_C - I_h \sin \varphi}{I_h \cos \varphi}, \quad (4.9)$$

где  $Q_C = U_h I_C = (\omega C / n^2) U_h^2$  — реактивная мощность конденсатора;  $Q_h = U_h I_h \sin \varphi$ ;  $P_h = U_h I_h \cos \varphi$  — соответственно реактивная и актив-

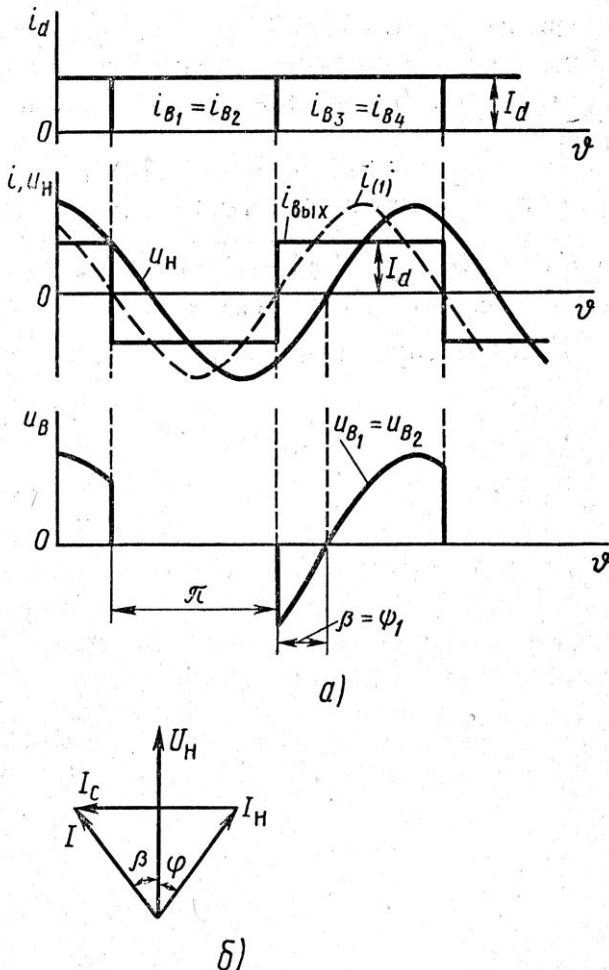


Рис. 4.4. Временные диаграммы токов и напряжений однофазного параллельного инвертора тока (а) и его векторная диаграмма (б)